

# 上路式補剛アーチ橋におけるクラウンの水平拘束による水平反力などの挙動

熊本大学 正員 吉村虎蔵 佐伯鶴城高 庄司清美  
同 学生員○筒井光男

## はじめに

アーチ系の構梁では多くの場合、逆対称1次の振動数が対称1次の振動数よりも低く、このため活荷重に対しては、左支点のたわみよりも右支点付近のたわみの方が大きく、橋の剛性を低下させることが多い。このようなから、アーチの水平変位を拘束したときの固有値の解析法・固有値の変化・たわみ剛性の変化などについての研究を進めて来た。<sup>(1)(2)</sup>しかしながらこれまで、1つの構造モデルについてのみであったので、ここでは、アーチの水平変位の拘束のために、その水平拘束力などがどのような挙動を示すか、あるいはたわみ剛性がどのような変化をするかなどについて、必要ないいくつかの無次元量をパラメーターに選んで、その挙動を調べた結果について報告する。

## 1. 解析の方法

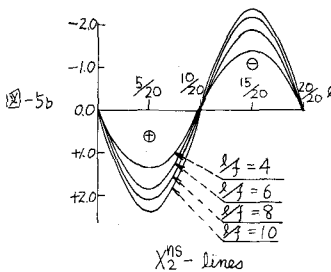
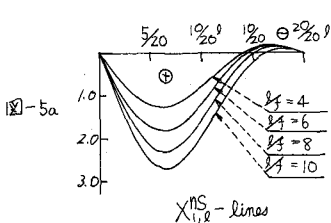
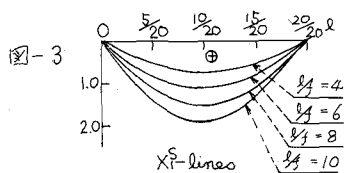
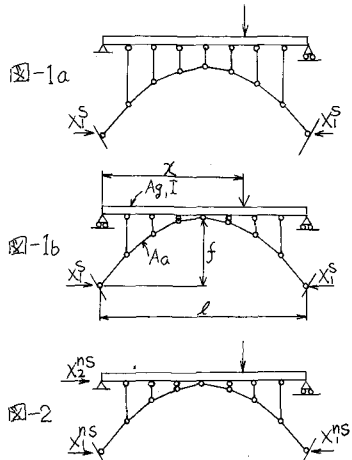
ここでは上路式補剛アーチ橋を取り上げるが、このモデルによって得られた結果を、ローゼ橋、2ヒンジアーチ橋、吊橋などへ適用することは容易であろうと思われる。通常の上路式補剛アーチ橋は図-1aあるいは図-1bのモデルによって設計架設される。このモデルでアーチクラウンは、鉛直荷重によって生じる水平変位の拘束をうけない。このときアーチ支点の水平反力を  $X_1^S$  と記すことにして、 $X_1^S$  の影響線およびたわみの影響線は次式によつて示される。

.....(1)a, (1)b

$$X_1^S = \frac{k - 2R^3 + R^4}{\frac{8}{5} + 3\frac{I}{A_a R^2}(\frac{l}{x})^2 \left\{ 1 + 8(\frac{f}{x})^2 + 19.2(\frac{f}{x})^4 \right\}}, \quad Y_1^S = y_0 - y_1 X_1^S$$

ただし  $l$ : スパン、 $\frac{I}{A_a}$ : 断面2次モーメント、 $A_a$ : アーチ部の断面積、 $y_0$ : 単純ばかりのたわみ、 $y_1$ : 水平拘束のない場合のたわみ、 $k = \frac{3}{8}$ 、 $y_1^r = -1/6$  ときのたわみ

$X_1^S$  は  $(\frac{f}{x})$  と  $(\frac{f}{A_a R^2})$  と2つの無次元量をもつが、これら2つパラメーターの代りに、 $(\frac{f}{x})$  と  $(\frac{f}{R})^2$  を用いて  $X_1^S$  の挙動をしらべた方が理解が容易なようである。図-1bのモデルの補剛桁の左支点を不動に改造して、アーチクラウンに水平変位の拘束を与えると、図-2のようになる。アーチ支点の水平反力は、左と右では異なるから、それそれを  $X_{1,r}^{NS}$ ,  $X_{1,l}^{NS}$  と記し、補剛桁の左支点における水平反力を  $X_2^{NS}$  と記することにする。刀ちよび度



位は図の矢印方向を正とする。このときの水平反力と変形の式は次式で示される。

$$X_2^{ns} = \frac{2(\frac{l}{r})}{5(\frac{l}{r})} \left[ 1 + 30\left(\frac{l^2}{r^2}\right) \frac{I}{Aa} \right] \left\{ \frac{2Aa}{Ag} + 1 + 8\left(\frac{l}{r}\right)^2 + 19.2\left(\frac{l}{r}\right)^4 \right\} \quad \dots\dots\dots (2)a$$

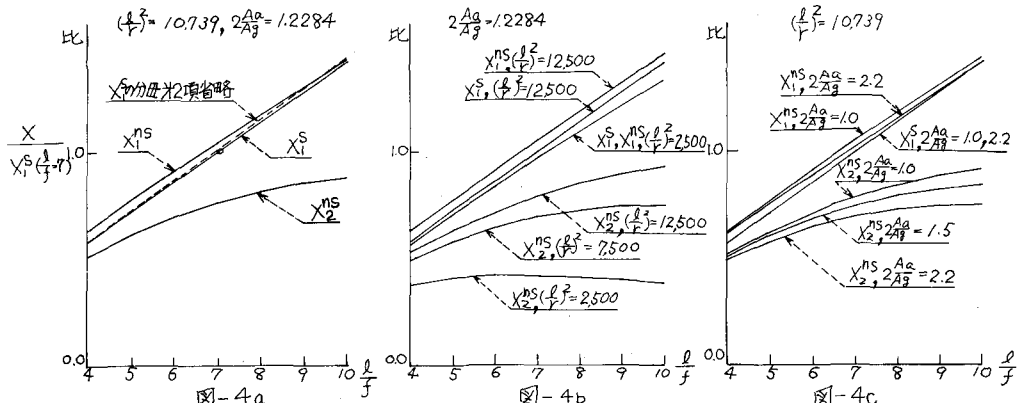
$$X_1^{ns} = X_1^s \pm \frac{1}{2} X_2^{ns}, \quad Y_2^{ns} = Y_1^s - Y_2^s X_2^{ns} \quad \dots\dots\dots (2)b, (2)c$$

EEL 式(2)a,(2)b の +,- はそれぞれアーチの左右で区別する,  $Y_2^s: X_2^{ns} = -1$  のときのたわみ,  $Y_2^s$ : 水平度位を拘束した場合のたわみ,  $Ag$ : 補剛材の断面積

$X_2^{ns}$  に関する無次元パラメータは式(1)に記す  $\frac{l}{r}, \frac{l}{r}$ , の他に  $2Aa/Ag$  が加わることになる。

## 2. 水平反力の挙動について

図-1の  $X_1^s$  の影響線の例を図-3に示す。 $X_1^s$  の面積あるいは死荷重反力および等分布活荷重満載時の反力を図-4aに示す。 $(\frac{l}{r})$  の代りに  $(\frac{l}{r})$  を横軸にとると  $X_1^s$  と  $(\frac{l}{r})$  はほぼ直線的な関係があり、 $(\frac{l}{r})$  の影響はほとんどみられない。すなはち式(1)分母の2項の効果はよく知られているように極めて小さい。図-2のモデルの  $X_{1,2}^{ns}$  の影響線の例を図-5a,bに示す。 $X_{1,2}^{ns}$  一線は  $X_1^s$  一線のようにもはや対称にならない。 $X_2^{ns}$  線は逆対称である。死荷重については  $X_1^{ns} = X_1^s$  であり、また  $X_2^{ns} = 0$  となる。等分布活荷重については、 $X_1^{ns}$  の正の面積、 $X_2^{ns}$  の正の面積と上記の3つのパラメータ -  $(\frac{l}{r})$ ,  $(\frac{l}{r})^2$ ,  $(2Aa/Ag)$  との関係をみればよい。これらを図-4a,b,cに示す。図-4では  $X_1, X_2$  は  $\frac{l}{r} = 7$  のときの  $X_1^s$  の値を単位としてプロットしてある。



## 3. たわみについて

鉛直たわみ影響線 ( $U$ -線) のうち、 $\frac{l}{r}$  点の影響線は図-1と図-2との構造では同じであるが、 $\frac{l}{r}$  点のそれが図-1と図-2では著しく変化する。図-1のモデルの橋では  $\frac{l}{r}$  点のたわみが  $\frac{l}{r}$  点のそれよりも通常大きいので重大である。いま  $U_{\frac{l}{r}}^s$ ,  $U_{\frac{l}{r}}^{ns}$  の値と  $(\frac{l}{r})$  との関係を示すと図-6のようになる。図-6では、 $\frac{l}{r} = 7$  のときの  $U_{\frac{l}{r}}^s$  を単位としてプロットした。図で知られるように  $\frac{l}{r} = 4$  では  $U_{\frac{l}{r}}^{ns}$  は  $U_{\frac{l}{r}}^s$  の約  $\frac{1}{5}$ ,  $\frac{l}{r} = 10$  では  $U_{\frac{l}{r}}^{ns}$  は  $U_{\frac{l}{r}}^s$  の約  $\frac{1}{2}$  となる。

(注)(1) 上路式補剛アーチ橋を水平に弾性拘束したときの結合法による動的解析とその拘束効果 S.43, 10 土木学会年次講演会  
(2) 結合法による中路式補剛アーチ橋の固有值解析とアーチの水平拘束効果 S.47, 10 土木学会年次講演会

